

УДК 656.11

ПОЛЬЗОВАТЕЛЬСКАЯ СR-ФУНКЦИЯ ДЛЯ СИСТЕМЫ VISUM НА ОСНОВЕ МОДЕЛИ ХЕРМАНА-ПРИГОЖИНА

В.И. Колесов, Тюменский индустриальный университет. **К. Бёттгер**, компания A+S Consult (A+C Транспроект).

В задачах городского транспортного планирования широко используется программный комплекс PTV Vision® VISUM, разработанный компанией PTV AG. Одной из важных задач, решаемых комплексом, является оценка временных затрат на преодоление элементов транспортной сети, при этом предусматривается использование алгоритмов (например, CR-функций), созданных пользователем. Аналитическое обоснование таких функций определяется выбранной моделью транспортного потока. Практика показывает, что одной из типовых является модель Хермана-Пригожина.

Ключевые слова: модифицированная модель Хермана-Пригожина, структурная и параметрическая идентификация модели, пользовательская CR-функция, программное тестирование.

Постановка задачи. Управление транспортным комплексом города предполагает использование информационно-аналитической системы (ИАС) для обоснования и поддержки принимаемых решений. В задачах городского транспортного планирования широко используется программный комплекс PTV Vision® VISUM, разработанный компанией PTV AG, Одной из важных задач, решаемых комплексом, является оценка временных затрат на преодоление элементов транспортной сети [1]. Система VISUM предусматривает при этом использование алгоритмов, в частности, функций CR (Capasity-Restraint), созданных пользователем. В работах [2-4] было дано аналитическое обоснование CR-функции VK01 для отрезка пути для случая «сшивания» гидродинамической модели транспортного потока с моделью Танаки. Практика последнего времени показывает, что более корректно поток описывается моделью Хермана-Пригожина. В статье предлагается СR-функции VK02 для этой модели.

Решение задачи. В практическом плане задача формулируется следующим образом: какое время требуется на преодоление отрезка пути между двумя узлами транспортной сети? Эта каноническая задача имеет на сегодняшний день массу конкурентоспособных решений, в зависимости от вида фундаментальной диаграммы транспортного потока (ТП), положенной в основу подхода [5]. Специфика авторской точки зрения изложена в работе [6]. В соответствии с ней, при разработке аналитического представления фундаментальной диаграммы однородного транспортного потока использована модифицированная модель Хермана –Пригожина.

Суть и логика модели Хермана-Пригожина (МХП) хорошо известны [7-10], тем не менее, для понимания предлагаемого решения придется напомнить её основные моменты.

Как известно, модель основана на предположении, что в реальном транспортном потоке можно выделить 2 группы транспортных средств: неподвижных (точнее медленно двигающихся) и подвижных (быстро двигающихся). Средняя скорость транспортного потока определяется их пропорцией. Задача, в конечном счете, сводится к нахождению этой пропорции. Логично допустить, что время поездки TT на расстояние в 1 км равно сумме времен движения RT и простоя ST.

$$TT = RT + ST \tag{1}$$

из чего следует, что, во-первых, доля простоев f_s составляет $f_s = ST/TT$, а средние скорости поездки $V_{cp.s}$ и движения $V_{cp.t}$ соответственно равны $V_{cp.s} = 1/TT$ и $V_{cp.t} = 1/RT$.

При создании МХП разработчиками использованы 2 гипотезы: первая из них постулирует, что

 $V_{cp.t} = V_m (1-f_s)^n$ (здесь V_m - максимальная скорость потока; n - индикатор Хермана-Пригожина), а вторая (созданная General Motors) — полагает, что $f_s = (q/q_m)^p$ (здесь q и q_m - соответственно текущая и максимальная плотность ТП; p - константа).

Зная скорость движения $V_{cp.t}$, легко определить среднюю скорость поездки $V_{cp.s}$. Действительно, $V_{cp.s}/V_{cp.t}=RT/TT=(TT-ST)/TT=1-f_s$, т.е. $V_{cp.s}=V_{cp.t}\cdot (1-f_s)$, тогда

$$V_{cp.s} = V_m \cdot (1 - f_s)^n (1 - f_s) = V_m \cdot (1 - f_s)^{n+1} = V_m \cdot \left[1 - (q/q_m)^p\right]^{n+1}$$
 (2)

Это соотношение удобно записать в несколько ином виде

$$x = \left(1 - z^{p}\right)^{n+1} \tag{3}$$

где $x = V_{cp.s}/V_m$; $z = q/q_m$.

В формуле (2) модель индикатора n, к сожалению не идентифицирована, поэтому нами предприняты соответствующие шаги.

Если прологарифмировать соотношение (3), то получим $ln(x) = (n+1)ln(1-z^p)$, из чего следует

$$n = \frac{\ln(x)}{\ln(1-z^p)} - 1 \tag{4}$$

График функции (4), построенный по данным системы TRAFFIC MONITOR, приведен на рис.1. Вычисление плотности потока q на полосе осуществлялось с учетом скважности разрешающего сигнала светофора по измеренным значениям интенсивности и скорости, а q_m - по минимальному продольному габариту безопасной езды.

Как видим, математическая модель индикатора n (с коэффициентом детерминации $R^2=0.9822$) может быть представлена в виде

$$n(z) = n_0 / z^s \tag{5}$$

где $n_0 = 1.059491$; g = 1.951349.

Однако, есть основание предполагать, что в идеале $n_0 = 1$, т.е. можно принять

$$n(z) = 1/z^{g} \tag{6}$$

при этом показатель g записать как $g = w \cdot p$

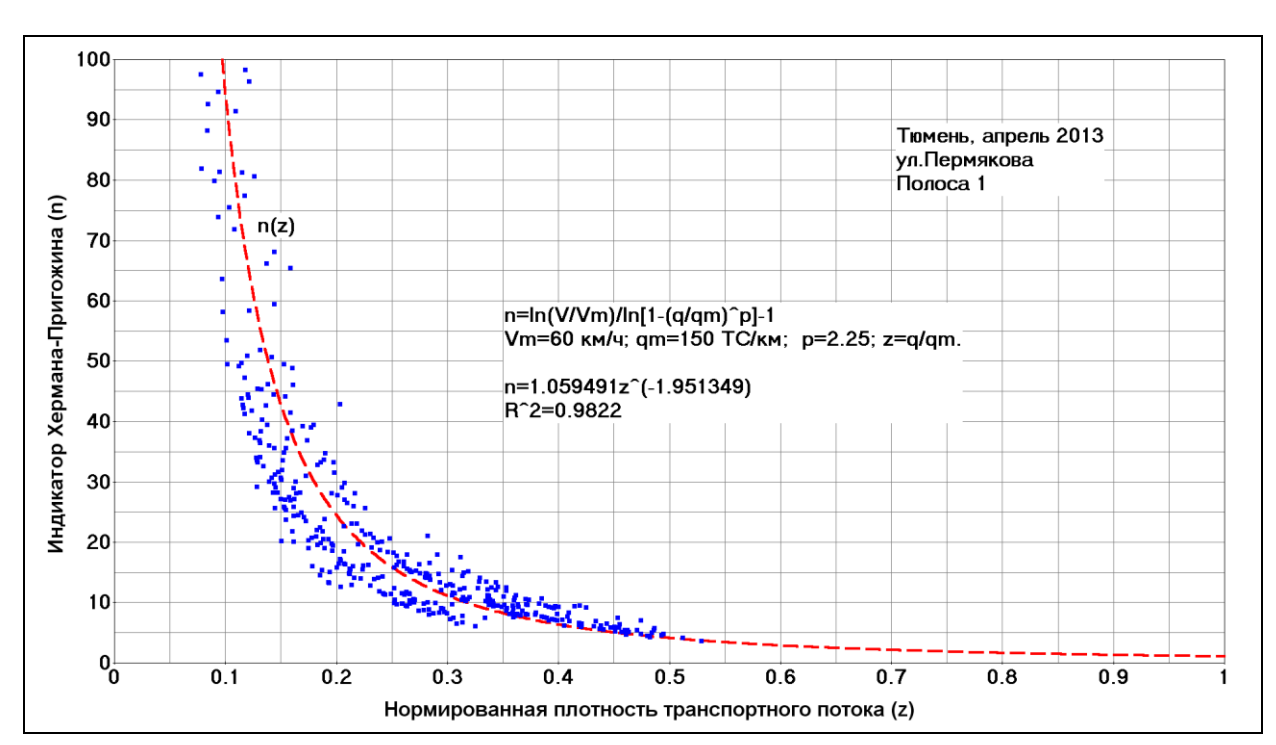


Рис. 1. Индикатор Хермана-Пригожина

В этом случае соотношение (3) примет вид (рис.2) модифицированной нами модели Хермана-Пригожина

$$x(z) = (I - z^p)^{I + z^{-w \cdot p}}$$

$$V = V_m (I - f_s)^{I + f_s^{-w \cdot}}$$
(8)

$$V = V_m \left(I - f_s \right)^{I + f_s^{-w}} \tag{8}$$

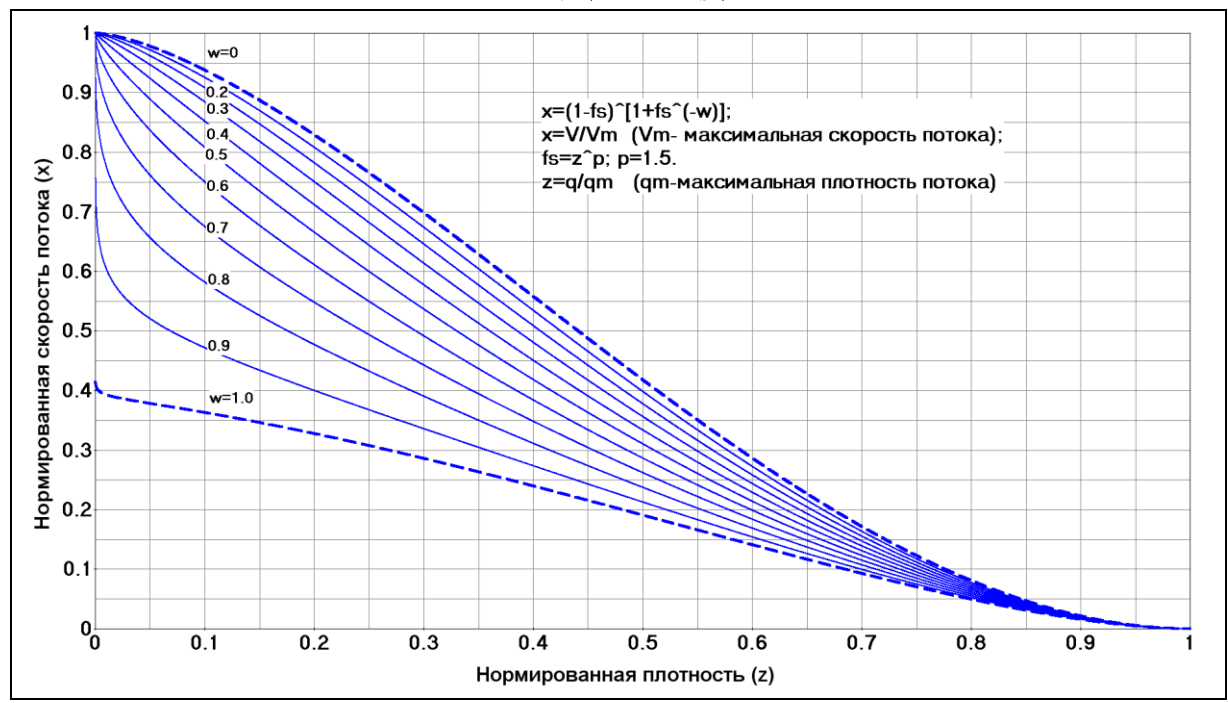


Рис. 2. Модифицированная модель Хермана-Пригожина

На рисунке 3 приведены результаты параметрической идентификации модифицированной модели Хермана-Пригожина $x(f_s)$ для каждой из трех полос (П1, П2 и П3) реального транспортного потока. Выделена линия продольного динамического габарита безопасной езды (DG).

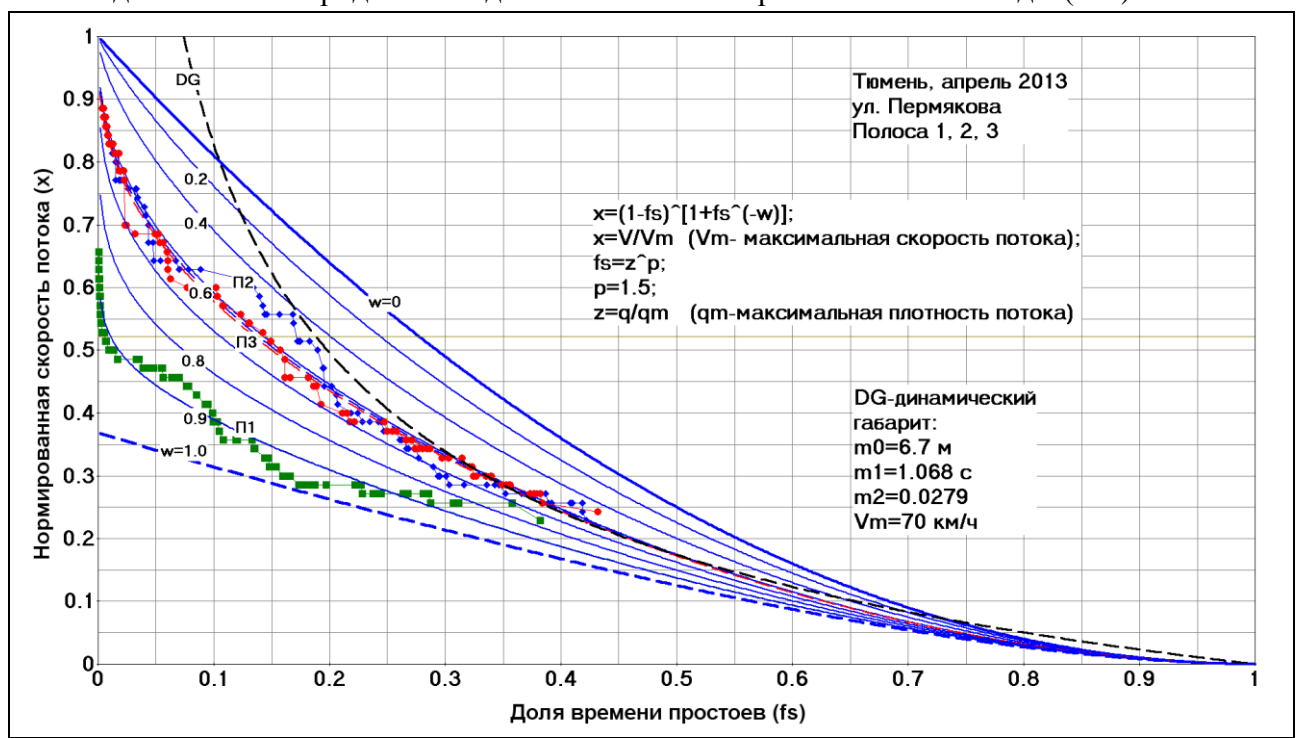


Рис. 3. График зависимости нормированной скорости потока (x) от доли времени простоев (fs)

К рисунку 3 следует дать небольшой комментарий. Экспериментальные кривые П1, П2 и П3 были построены на основе рангового анализа [11] нормированных скоростей x(r) и нормированных плотностей z(r), при этом каждая кривая x(z) - строилась как результат параметрического представления функции через параметр r (т.е. x(z) = F[x(r), z(r)]). Затем кривые x(z) с использованием модели General Motors $f_s = z^p$ были пересчитаны в $x(f_s)$.

Перейдем далее к CR-функции. В основе оценки времени в пути (t) в пакете VISUM используются CR-функции вида $CR(SG) = t(SG)/t_o$ (здесь t_o - время при свободном движении). Аргументом является уровень нагруженности сети (или степень насыщения SG).

Обычно первоначально принято решать задачу применительно к потоку легковых автомобилей, а затем при необходимости (например, для многокомпонентного потока) делать пересчет. Будем следовать этой традиции, поэтому далее рассматривается однородный поток легкового транспорта.

Если использовать понятие нормированной скорости $x = V/V_{\scriptscriptstyle ozp}$, то

$$CR = \frac{t}{t_o} = \frac{L_{otr}/V}{L_{otr}/V_{ozp}} = \frac{V_{ozp}}{V} = \frac{1}{x}$$
(9)

где L_{otr} - длина отрезка пути.

В системе VISUM в качестве аргумента функции CR используется уровень нагруженности сети (или степень насыщения SG), что требует знания максимально достижимой интенсивности транспортного потока. Учитывая, что нормированная интенсивность равна $n=z\cdot (1-z^p)^{l+z^{-s}}$, максимум n достигается при dn/dz=0, т.е. при

$$\begin{split} &(\mathit{I}-\mathit{z}^{p})^{\mathit{I}+\mathit{z}^{-\mathit{g}}} + \mathit{z}(\mathit{I}-\mathit{z}^{p})^{\mathit{I}+\mathit{z}^{-\mathit{g}}} \left[(\mathit{I}+\mathit{z}^{-\mathit{g}})/(\mathit{I}-\mathit{z}^{p}) \cdot (-\mathit{p}\cdot\mathit{z}^{\mathit{p}-\mathit{I}}) - \mathit{z}^{-\mathit{g}} \; g/\mathit{z} \cdot \ln(\mathit{I}-\mathit{z}^{p}) \right] = 0 \\ &\text{ После простых преобразований получим} \\ & z \cdot (\mathit{I}+\mathit{z}^{-\mathit{g}})/(\mathit{I}-\mathit{z}^{p}) \cdot (\mathit{p}\cdot\mathit{z}^{\mathit{p}-\mathit{I}}) + \mathit{z}^{-\mathit{g}} \cdot g \cdot \ln(\mathit{I}-\mathit{z}^{p}) = I \\ & \text{ или} \\ \\ & z_{\mathit{opt}} \cdot (\mathit{I}+\mathit{z}^{-\mathit{wp}}_{\mathit{opt}})/(\mathit{I}-\mathit{z}^{\mathit{p}}_{\mathit{opt}}) \cdot (\mathit{p}\cdot\mathit{z}^{\mathit{p}-\mathit{I}}_{\mathit{opt}}) + \mathit{z}^{-\mathit{wp}}_{\mathit{opt}} \cdot \mathit{w} \cdot \mathit{p} \cdot \ln(\mathit{I}-\mathit{z}^{\mathit{p}}_{\mathit{opt}}) = I \end{split}$$

Уравнение (10) позволяет определить z_{opt} - нормированную плотность, доставляющую экстремум величине n .

Выразим z через z_{opt} и степень насыщения потока SG , под которой будем понимать отношение $SG = z/z_{opt}$, тогда

$$CR = \frac{1}{x} = 1/(1-z^{p})^{1+z^{-w\cdot p}} = 1/[1-(SG \cdot z_{opt})^{p}]^{1+(SG \cdot z_{opt})^{-w\cdot p}}$$
(11)

Практическое использование полученного результата предполагает выполнение параметрической идентификации модели (11) для реальных условий.

В качестве примера приведем графики СR-функций (рис.4) для конкретных условий работы транспортного потока, оговоренных на рис.3. (для полосы 1 при p=1.5; w=0.9 получим $z_{opt}=0.42291$, а для полос 2 и 3 при p=1.5; w=0.6 имеем $z_{opt}=0.38446$).

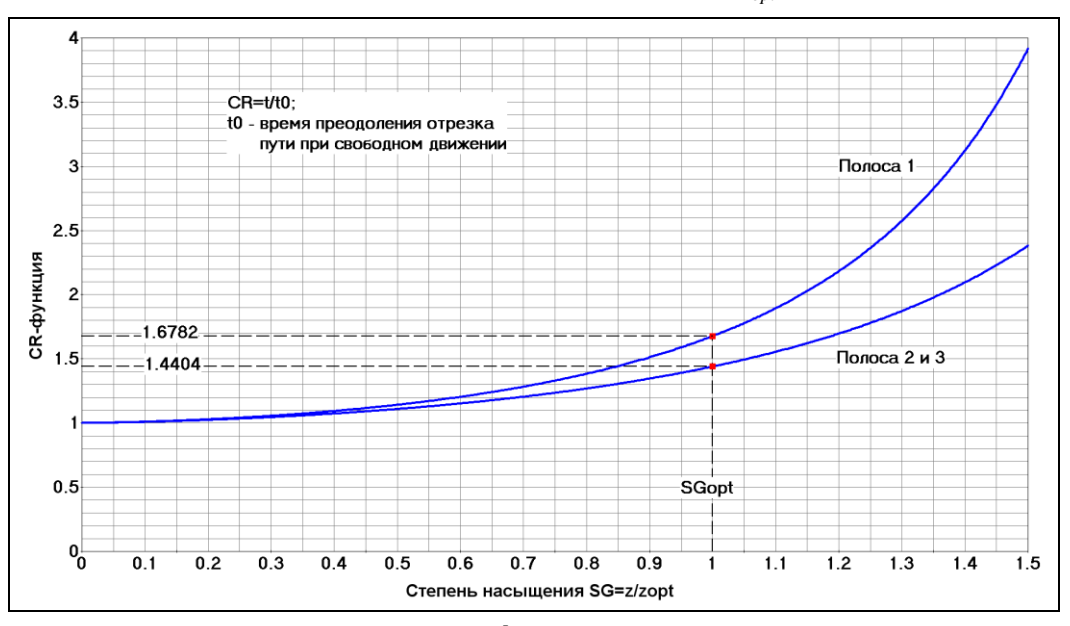


Рис. 4. CR-функция VK-02



Таким образом, получены базовые модели (см.(10) и (11)) CR-функции отрезка пути в условиях ограничения скорости транспортного потока и удовлетворяющие требованию безопасной езды. Выполнено их программное тестирование.

СПИСОК ЛИТЕРАТУРЫ

- 1. Лозе Д. Моделирование транспортного предложения и спроса на транспорт для пассажирского и служебного транспорта обзор теории моделирования // Организация и безопасность дорожного движения в крупных городах: Сборник докладов седьмой международной научно-практической конференции. СПб гос. архит.-строит. ун-т. СПб, 2006 544 с.
- 2. Колесов В.И. Пользовательская CR-функция для системы VISUM. // Энергосбережение и инновационные технологии в топливно-энергетическом комплексе: материалы Всероссийской НПК. Тюмень: ТюмГНГУ, 2014. C.132-137
- 3. Колесов В.И. Нормированная фундаментальная диаграмма транспортного потока в условиях ограничения скорости //Новые информационные технологии в нефтегазовой отрасли и образовании: материалы V Всероссийской НТК с международным участием. Тюмень: ТюмГНГУ, 2012 . С. 25 31.
- 4. Колесов В.И. Нормированная диаграмма транспортного потока в режиме свободного движения //Нефть и газ Западной Сибири: материалы Международной НТК . Т.4. Тюмень: ТюмГНГУ, 2013. С.26-30.
- 5. Введение в математическое моделирование транспортных потоков (Под ред. А.В. Гасникова): М.: Изд-во МЦНМО, 2013. 429 с.
- 6. Колесов В.И., Санник А.О., Новоселов Д.М., Морозов В.В. Модель Хермана-Пригожина в задачах управления дорожным движением. В печати.
- 7. Herman R., Prigoginc I. A Two-Fluid Approach to Town Traffic //Science.- 1979. Vol. 204. pp. 148-151.
- 8. Ardekani, S. A. and R. Herman, (1987). Urban Network-Wide Variables and Their Relations. Transportation Science. Vol. 21, No. 1.
- 9. Ardekani, S.A., J.C. Williams and S. Bhat, (1992). Influence of Urban Network Features on Quality of Traffic service.
- 10. Блинкин М.Я., Ткаченко Б.А. Системная оценка условий движения на базе модели Хермана-Пригожина // Социально-экономические проблемы развития транспортных систем городов и зон их влияния. Екатеринбург: Изд-воАБМ, 2009.-С. 135-143.
- 11. Колесов В.И., Петров А.И. Использование ранговых распределений при анализе безопасности дорожного движения //Проблемы функционирования систем транспорта: материалы Всероссийской НПК студентов, аспирантов и молодых ученых (с международным участием). Т.1 Тюмень: ТюмГНГУ, 2014 С. 258 -262